

## НОВАЯ ГЕРКУЛЕСА 1963

И. Ф. АЛАНИЯ и М. В. ПОПОВ

**Наблюдения.** Наблюдать открытую Дальгреном 6 февраля 1963 года яркую Новую в созвездии Геркулеса нам представилась возможность только 25 марта. Был использован 70-см менисковый телескоп с предобъективной призмой (дисперсия 166 ангстрем на мм около линии  $H\gamma$ ).

Рассмотрение негативов убедило нас в том, что звезда находилась в ранней стадии «4640». Впоследствии, в течение 15 ночей было получено 29 негативов. В последний раз звезда была сфотографирована 11 сентября. Поскольку до августа Новая была очень яркой для нашего телескопа, мы фотографировали ее по два-три раза на каждую пластинку, в результате чего накопилось свыше 60 спектрограмм. Спектры были расширены на 0,3 мм. Соответствующее расстояние в окуляре гида звезда проходит за 1,25 минуты. Даже при таких коротких экспозициях водородные линии излучения получались передержанными, ввиду чего, пока Новая не ослабла значительно, почти на каждом негативе были получены ее спектры через диафрагму; при этом величина последней подбиралась таким образом, чтобы и спектр звезды HD 167965, которая использовалась в качестве звезды сравнения, имел нормальную плотность. Экспозиции в данном случае были сравнительно продолжительными. Описание наблюдательного материала дается в таблице 1.

Таблица 1

1	2	3	4	5
3315	25-26·3	2438114·525	2·5	29·6
3323	27-28·3	116·523 ·526	1·25 2·5	26·3 25·4
3324	"	·536	1·25	23·8
3325	"	·538 ·552	2·5	22·4
3327	31·3-1·4	120·516 ·518 ·527	2·5 7·5	18·9 17·3*
3328	"	·501	1·25	26·7
3329	"	·507 ·558	2·5 7·5	26·1 23·5*
3364	18-19·4	138·435 ·437	3·75 1·25	19·7* 04·0
3365	"	·444 ·455 ·460	2·5 1·25	02·8 35·2
3373	20-21·4	140·509 ·511	2·5 1·25	34·5 33·6*
				30·5*
				28·7
				28·2
				14·5
				13·9

Продолжение таблицы 1

1	2	3	4	5
3373	20—21·4	2438140, 518	5·0	12 <sup>0</sup> , 3 <sup>1</sup>
3374	"	·526	3·75	10·0*
		·531	2·5	08·7
3381	21—22·4	141·504	5·0	15·1*
		·510	3·75	13·6
		·512	1·25	12·8
3382	"	·518	1·25	11·4
		·521	2·5	10·6
		·525	3·75	09·1*
3388	25—26·4	145·495	1·25	14·6
		·497	2·5	14·0
		·503	3·75	12·5*
3389	"	145·518	3·75	09·7*
		·513	3·75	08·4
3395	17—18·5	167·415	5·0	06·3
3396	"	·419	3·75	19·8*
		·429	2·5	18·6
		·433	5·0	16·2
3397	"	·440	3·75	14·9
		·447	3·75	11·2*
3408	21—22·5	171·406	1·25	10·1
		·412	3·75	19·3*
		·414	1·25	17·7
3409	"	·422	2·5	17·1
		·426	2·5	14·9*
3418	22—23·5	172·421	5·0	13·9
		·433	3·75	12·3*
		·424	1·25	14·6
3419	"	·429	2·5	14·0
		·438	3·75	12·5*
		·443	3·75	10·1*
3422	12—13·6	193·346	5·0	08·8
		·447	3·75	07·6
3501	18—19·7	·351	6·25	19·3
		·357	2·5	18·0
3507	19·7	229·465	5·0	16·5*
		·471	3·75	27·4*
3526	9·8	230·323	5·0	28·9
3532	16·8	·331	10·0	02·5
3641	11·9	·251·276	3·75	04·7*
		·258·326	9·0	05·0
		·284·227	10·0	23·5
			20·0	16·0

В первых двух столбцах таблицы приведены номера негативов и даты фотографирования. В третьем столбце даны средние моменты наблюдения в юлианских днях; в четвертом — экспозиции в минутах. На конец, в последнем столбце содержатся зенитные расстояния для наших моментов экспонирования. Звездочки у чисел означают, что фотографирование в данном случае производилось через диафрагму.

Описание спектров. С помощью саморегистрирующего микрограммы спектров. Кроме того были изготовлены хорошие репродукции с негативов (см. фото 1). Все это, вместе с литературными данными, оказалось нам большую помощь при отождествлении спектральных линий и полос излучения Новой. Ниже мы даем картину качественных изменений отдельных участков спектра, наблюдавшихся на наших негативах.

Негативы 3315, 3316, 3323, 3324, 3325. На этих пластинах спектр имеет одинаковый вид. Поскольку фотографирование в данном случае произведилось на эмульсиях Агфа Изохром, спектры простираются в сторону красного конца только до 5500 ангстрем.

Непрерывный спектр виден хорошо. Наиболее заметны эмиссионные линии серии Бальмера ( $H_\beta$ ,  $H_\gamma$ ,  $H_\delta$ ). Такой же интенсивности полоса  $N\text{II}$  6440. Немного менее интенсивна запрещенная линия  $O\text{III}$  5007 ( $N_1$ ).

Эмиссионные линии  $Fe\text{ II}$  5316, 5169 и 4924 хорошо заметны. На линию  $N_1$  накладывается линия  $He\text{ I}$  5016. Полосы  $N\text{ II}$  4788—94,  $Fe\text{ II}$  4550+  $N\text{III}$  4515,  $O\text{II}$  4468—69,  $O\text{I}$  4415—17 хорошо видны и имеют примерно одинаковую интенсивность. Немного слабее полосы  $C\text{ II}$  4267,  $Fe\text{II}$  4233,  $N\text{II}$  4176+  $Fe\text{II}$  4179. На  $F_\alpha$  возможно накладывается линия 4095  $N\text{III}$  и 4103  $N\text{II}$ . Полоса  $H_\alpha$  +  $Ca\text{II}$  3969 очень широкая и имеет поглощение в центре, принадлежащее межзвездному кальцию. Заметна также другая линия поглощения межзвездного кальция  $Ca\text{II}$  3934. На  $H_\alpha$  налагается линия 3995  $N\text{II}$ . Между  $H_\alpha$  и  $H_\beta$  видна линия  $[S\text{II}]$ +  $O\text{II}$  4069—79 и едва заметна линия  $N\text{II}$  4035—41. В фиолетовой части, кроме водородных линий  $H_\alpha$ ,  $H_\beta$ ,  $H_\delta$  хорошо видна линия  $O\text{III}$  3757.

Негативы 3327, 3328, 3329. Начиная с 31 марта фотографирование Новой все время производилось на пластинах Агфа Изопан ИСС, что дало нам возможность проследить за изменениями в спектрах от фиолетового конца вплоть до водородной линии  $H$ . Качество спектров, полученных в эту ночь, превосходное.

Линия  $H_\alpha$  немного ярче других водородных линий. Вблизи  $H_\alpha$  хорошо заметна линия с длиной волны 6475 ангстрем, которую мы отождествили с  $N\text{II}$  6480. Примерно равны ей по интенсивности  $[O\text{I}]$  6300 и 6363. Видна слабая эмиссионная линия  $Fe\text{II}$  6149. Более интенсивны  $N\text{I}$  5942 и  $He\text{I}$  5876. Запрещенная линия  $N\text{II}$  5755 имеет примерно такую же яркость как и  $[O\text{I}]$ ; немнога слабее полоса  $N\text{II}$  5667—80. Для остальных участков спектра остаются в силе предыдущие описания. Мы хотели бы подчеркнуть, что в эту ночь на спектрограммах очень четко видны межзвездные линии поглощения  $H$  и  $K$  ионизированного кальция.

Негативы 3364, 3365, 3373, 3374, 3381, 3382. Наблюдается усиление непрерывного спектра в фиолетовом участке. Водородные линии попрежнему являются наиболее интенсивными линиями спектра. Из них самая сильная линия  $H_\alpha$ . Значительно усилились линии  $H_\alpha$ ,  $H_\beta$ ,  $H_\gamma$ ,  $H_\delta$ . Интенсивность запрещенной линии  $N_1$  достигла интенсивности  $H_\alpha$ . Линия  $N_2$  довольно яркая, но все же уступает по яркости  $N_1$ . Усилилась запрещенная линия  $N\text{II}$  5755 и стала намного ярче линий  $[O\text{I}]$  6300 и 6363. Усилились также линии  $He\text{I}$  5876 и  $N\text{II}$  5667—80. Кроме указанных линий в интервале спектра от  $H_\alpha$  до  $H_\beta$  заметны  $N\text{II}$  6480,  $Fe\text{II}$  6149;  $N\text{II}$  5942, 5535, 5495;  $[Fe\text{II}]$  5362 и 5273 (последние две очень слабы) и 5169  $Fe\text{II}$ . Изменения, которые произошли в интервале спектра между полосой 4640 и  $H_\gamma$  заключаются в том, что, во-первых, не видна линия 4550  $Fe\text{II}$ , и, во-вторых, в результате усиления линии 4471  $He\text{I}$  полоса 4468—69  $O\text{II}$  + 4471  $He\text{I}$  стала выделяться относительно соседних участков спектра. Запрещенная линия  $O\text{III}$  4363 все еще менее интенсивна чем  $H_\gamma$ . Линия  $C\text{II}$  4267 значительно усилилась по сравнению с предыдущими спектрограммами. К этой линии примыкает слабая линия  $[Fe\text{II}]$  4244. Вблизи  $H_\alpha$  заметна слабая диффузная полоса  $N\text{II}$  4176+  $Fe\text{II}$  4179. С фиолетовой стороны  $H_\alpha$  выглядит размытой. По-видимому, на нее налагается полоса 4069—76  $[S\text{II}]$ + $O\text{II}$ . Усилилась по сравнению с 31 марта полоса  $N\text{II}$  4035—41. Появилась запрещенная линия  $N\text{III}$  3869.

Межзвездные линии поглощения ионизованного кальция больше не заметны.

Негативы 3388, 3389. Относительно спектра, наблюдавшегося 21—22 апреля, замечены интересные изменения. Полоса 4640 стала более широкой и диффузной. Менее заметна налагающаяся на нее линия  $HeII$  4686. Усилилась полоса  $NIII$  4510—15 и по отношению к ней ослабла линия 4471  $HeI$ . Линия  $H\delta$  диффузная с красного конца из-за усиления линий  $NIII$  4097 и 4103. На фиолетовом краю этих линий хорошо заметно поглощение. Усилилась линия  $NII$  4048 и превзошла по интенсивности полосу  $NII$  4035—41. Исчезла запрещенная линия  $NeIII$  3869. По всей вероятности в данном случае наблюдалась так называемая «азотная вспышка».

Негативы 3396, 3408, 3409, 3418, 3419. На спектрограммах с 17 по 23 мая никаких изменений не заметно. Наиболее интенсивны линии  $H\alpha$ ,  $N_1$ ,  $H\beta$ ,  $H\gamma$ ,  $NIII$  4640,  $H\delta$ ; все они имеют примерно одинаковую интенсивность. Немного уступает им линия  $N_2$ . Интенсивности запрещенной линии  $OIII$  4363 и  $H\gamma$  равны. Полоса  $NIII$  4640 стала узкой и более резкой. Снова хорошо видна  $HeII$  4686. С фиолетовой стороны на полосу 4640 накладывается полоса 4603  $NV$  и 4607  $NII$ . В визуальной области наиболее заметны теперь линии  $[FeII]$  5212 и 5280, 5411  $HeII$ ; по-прежнему присутствуют линии 5169  $FeII$  (на эту линию накладывается линия 5177  $[FeVI]$ ),  $NII$  5535, 5495, 5667—80;  $NII$  5755,  $HeI$  5876,  $NII$  5942,  $FeII$  6149,  $[OI]$  6300 и 6363,  $NIII$  6467. Соотношение интенсивностей для этих линий такое же, как и на предыдущих спектрограммах. Кроме того, появилась линия 6085  $FeVII$ . Поглощение с фиолетовой стороны  $H\delta$  исчезло и значительно ослабла линия 4048  $NII$ . Вновь присутствует довольно сильная запрещенная линия  $NeIII$  3869.

Негатив 3422. По виду спектр похож на спектр, полученный 22—23 мая. Интенсивности линий  $H\alpha$ ,  $N_1$ ,  $H\beta$  [ $OIII$ ] 4363 равны. Эти линии самые сильные в спектре. Линия  $N_2$  все еще уступает по яркости  $H\beta$ . Линия  $[OIII]$  4363 стала ярче  $H\gamma$ . Немного ослабли линии:  $FeII$  6149,  $[FeVI]$  5177 +  $FeII$  5169.

Негативы 3501, 3507. Наиболее интенсивны линии  $H\alpha$ ,  $N_1$  [ $OIII$ ] 4363. Запрещенная линия  $OIII$  4959 ( $N_2$ ) слабее  $N_1$ , но ярче  $H\beta$ . Интенсивность полосы 4640 равна интенсивности  $H\beta$ . Довольно интенсивна полоса  $H\delta$  +  $NIII$  4097. Хорошо видны линии  $H\epsilon$  и  $H\zeta$ . На последнюю налагается линия  $[NeIII]$  3869, причем интенсивность  $[NeIII]$  превзошла интенсивность  $H\delta$ . Кроме перечисленных видны еще линии:  $NIII$  6467,  $[OI]$  6300 и 6363,  $[FeVII]$  6085,  $HeI$  5876,  $[NII]$  5755,  $NII$  5680,  $[FeII]$  5280,  $NII$  4176,  $[SII]$  4069—76,  $NII$  4035,  $NII$  3995. Из только-что перечисленных наиболее интенсивны линии: 5755 [ $NII$ ], 4686  $HeII$ , 4510—15  $NIII$ .

Негативы 3526, 3532. Спектр такой же, как и 19—20 июля. Возросло отношение к водородным линиям, которые все еще довольно интенсивны. Линия  $N_2$  приблизилась по интенсивности к  $N_1$ , оставаясь слабее ее. Едва заметны линии  $[OI]$  6300, 6363; 6085  $[FeVII]$  и 5876  $HeI$ .

Негатив 3641. Наиболее интенсивны запрещенные линии  $N_1$  и  $N_2$ . Интенсивность  $N_1$  все же больше, чем  $N_2$ , а интенсивность  $N_2$  превышает интенсивность  $H\beta$ . Равны между собой интенсивности  $H\alpha$  и 4363 [ $OIII$ ]. Линия  $[NII]$  5755 такая же, как  $H\beta$  и 4640  $NIII$ . Довольно интенсивны линии 4686  $HeII$ ,  $H\gamma$ ,  $H\delta$ ,  $H\epsilon$ ,  $H\zeta$ . Интенсивность запрещенной ли-

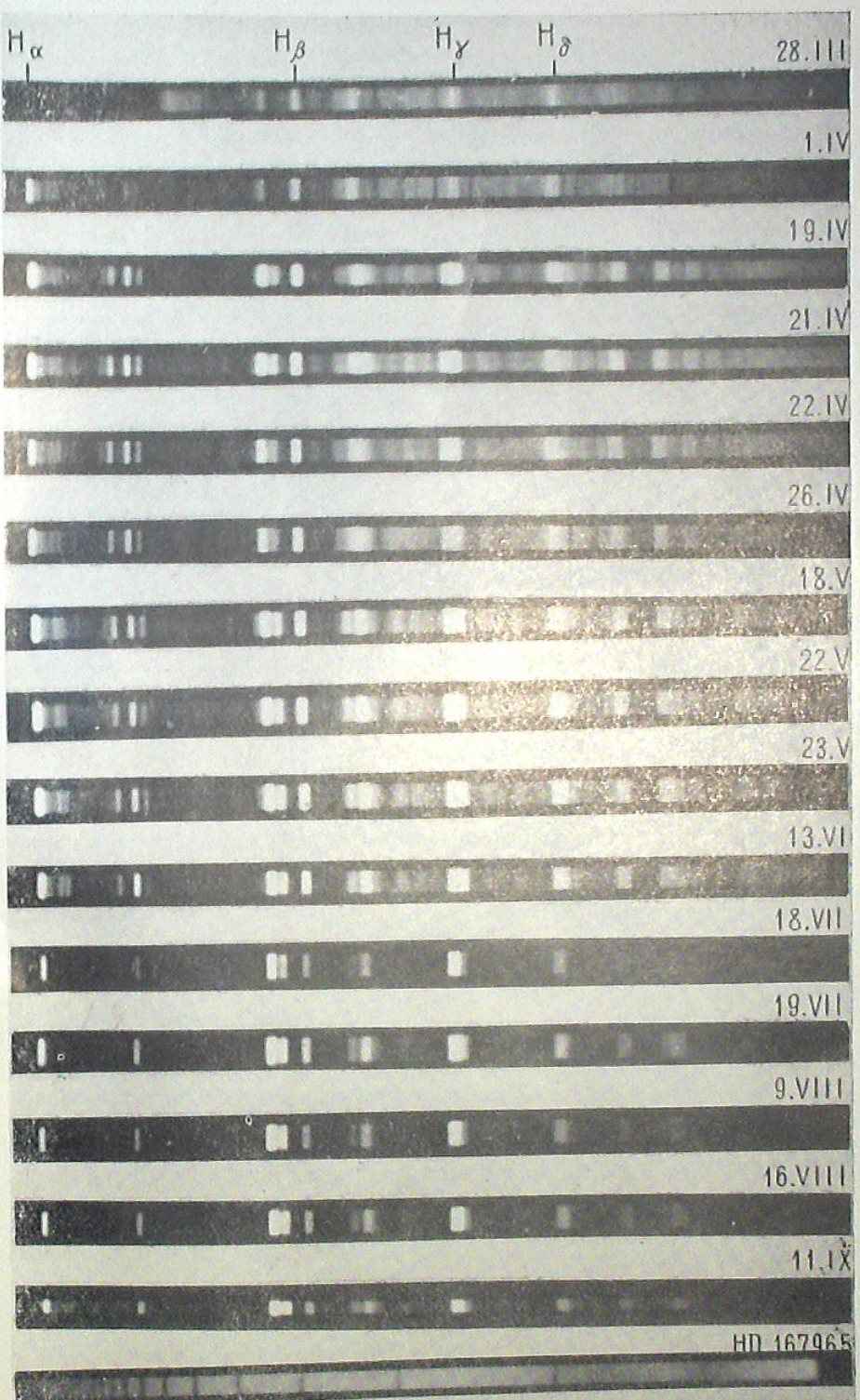


Фото 1

нии  $NeIII$  3869 намного превосходит интенсивность  $H_{\alpha}$ . Кроме упомянутых видны следующие линии:  $NIII$  6467,  $[OI]$  6363 и 6300,  $[FeVII]$  6085,  $HeI$  5876,  $NII$  5680,  $[FeII]$  5280,  $NII$  5176,  $FeII$  5169,  $NIII$  4410—15,  $NII$  4176,  $[SII]$  4069—76. Ниже, в таблице 2 дается список отождествленных линий и полос в спектре Н Нег 1963, замеченных в течение нашего наблюдательного периода.

Таблица 2

Длина волны	Элемент	Длина волны	Элемент
6563	H	4607	NII
6467	NIII	4603	NV
6363	[OI]	4550	FeII
6300	[OI]	4510—15	NIII
6149	FeII	4468—69	OII
6085	[FeVII]	4471	HeI
5942	NII	4415—17	OII
5876	HeI	4363	[OIII]
5755	[NII]	4341	H
5667—80	NII	4267	CII
5535	NII	4244	[FeII]
5495	NII	4233	FeII
5412	[FeII]+HeII	4231—41	NII
5362	[FeII]	4179	FeII
5316	FeII	4176	NII
5280	[FeII]	4102	H
5273	[FeII]	4103+4095	NIII
5177	[FeVI]	4069—70	OII+[SII]
5175	NII	4048	NII
5169	FeII	4035—41	NII
5016	HeI	3995	NII
5007	[OIII]	3970	H
4959	[OIII]	3969	CaII
4924	FeII	3934	CaII
4861	H	3889	H
4788—94	NII	3869	[NIII]
4713	HeI	3835	H
4686	HeII	3798	H
4640	NIII	3757	OIII

Расширение оболочки. Как отмечалось выше, к наблюдениям Новой мы приступили довольно поздно, когда, по всей вероятности, линии поглощения различных элементов уже очень сильно ослабли. Во всяком случае, на наших первых спектрограммах кроме межзвездных линий  $H$  и  $K$  ионизованного кальция никаких других линий поглощения не заметно. Даже эмиссионные линии водорода не имели свойственных им фиолетовых компонент поглощения. Поэтому мы могли проводить определение скоростей расширения газовой оболочки звезды только по ширине эмиссионных полос. При этом мы отдавали себе отчет в том, что скорости, полученные таким путем, будут зависеть от продолжительности фотографирования звезды. Но, как известно, соблюдение тождественных условий наблюдения новых звезд продолжительное время не представляется возможным. Мы не говорим здесь о других причинах, которые тоже вносят известные погрешности в определении скоростей расширения (внефокальность, атмосферные условия и т. д.). В начале статьи отмечалось, что в период наших наблюдений Новая была довольно яркой для нашего телескопа и, по-возможности, в большинстве случаев мы старались придерживаться оптимальных условий в отношении экспозиций.

Подобранные по такому признаку спектограммы измерялись в горизонтальном компараторе ИЗА-2. За окончательное значение отсчета принималось среднее из трех отсчетов для каждого края полосы. Индивидуальные отклонения от среднего арифметического не превышают величину  $\pm 0.005$ , что в случае данной дисперсии в зависимости от длины волн дает следующие ошибки в определении скорости:

$$\begin{array}{ll} H_{\alpha} = 70 \text{ км/сек} & H_{\gamma} = 28 \text{ км/сек} \\ H_{\beta} = 38 & H_{\delta} = 21 \end{array}$$

Результаты определения скоростей расширения газовой оболочки по различным эмиссионным полосам представлены в таблице 3, столбцы которой не требуют пояснения.

Пропуски в таблице означают, что на данной спектограмме измерение линий не производилось. Линия  $H_{\gamma}$  на многих спектограммах сливается с линией [OIII] 4363. Линии  $H_{\epsilon}$ ,  $H_{\delta}$  и  $H_{\eta}$  были недостаточны, интенсивны на первых и последних спектограммах. По этой же причине иногда не измерялись линии [NII] 5755, NII 5680 и HeI 5876. Полоса 4640 до 17 мая имела диффузный вид. Нижняя строка в таблице 3 дает среднее значение скорости за весь интервал наблюдений.

На пластинках Агфа Изопан ИСС эмиссионная линия  $H_{\alpha}$  выходит вполне отчетливо, но за этой линией наблюдается полное исчезновение чувствительности эмульсии. Из-за этого, может быть, красный конец  $H_{\alpha}$  обрезается и полная ширина линии будет меньше. Несмотря на это  $H_{\alpha}$  показывает значительно большую скорость расширения, чем остальные линии таблицы 3. Это частично можно объяснить тем, что в случае применяемой нами дисперсии красная линия [NII] 6548 сливается с  $H_{\alpha}$ , и скорость расширения получается завышенной.

Данные таблицы 3 позволяют оценить среднюю скорость расширения оболочки. Среднее по всем водородным линиям дает 1190 км/сек., а без линии  $H_{\alpha}$  — 1100 км/сек. Линии  $H_{\epsilon}$ ,  $H_{\delta}$ ,  $H_{\eta}$ , дают меньшую скорость расширения, чем линии  $H_{\alpha}$  —  $H_{\gamma}$ . Наши данные определенно указывают на то, что скорость расширения оболочки со временем уменьшалась.

**Фотометрия спектра.** В настоящем исследовании мы не занимались целью изучения распределения энергии в непрерывном спектре Новой, поскольку по хорошо известным причинам оно всегда связано с большими трудностями, особенно, — когда спектры получены с малой дисперсией.

Однако, на регистрограмме, соответствующей негативу 3325, ощущается наличие непрерывного спектра, ввиду чего только для этого случая мы попытались произвести определение спектрофотометрического градиента относительно звезды HD 167965, чтобы иметь представление о порядке цветовой температуры Новой. Для этого спектры Новой и звезды HD 167965 с помощью функционального преобразователя, присоединенного к микрофотометру МФ-4, были записаны прямо в интенсивностях. Потом для 36-и точек, в интервале длии волн от 3700 ангстрем до 5500 ангстрем были составлены разности

$$I_{\text{gl}} = \lg(N \text{ Her 1963}) - \lg(\text{HD 167965}),$$

которые приведены в таблице 4.

Таблица 3

Дата	№№	$H_{\alpha}$	$H_{\beta}$	$H_{\gamma}$	$H_{\delta}$	$H_{\epsilon}$	$H_{\eta}$	[NII] 5755	NII 5680	[OIII] 5007	[OIII] 4959	NIII 4640	HeI 5876
31-3-1-4	3328	1480	1140	1000	1230	990	1060	1085	1200	1490	1515	1230	1205
"	3329	1470	1080	1080	1150	1215	1020	1000	1120	1410	1410	1140	945
18-19-4	3364	2390	1380	1380	1230	1050	1155	1045	940	945	995	1230	1040
20-21-4	3373	2310	1350	1290	1050	1065	1080	1015	1030	1010	1025	1200	1060
21-22-4	3374	2190	1350	1205	1110	1110	1245	1025	1055	970	1105	1245	1080
"	3381	1800	1110	1110	1150	1260	1280	1070	1030	1030	1240	1230	1020
25-26-4	3382	2180	1740	1200	1110	1110	1060	1170	1050	1100	1100	1495	1300
"	3388	1740	1200	1320	1140	1250	1060	1040	1050	1070	1050	1335	1490
17-18-5	3395	2000	1320	1260	1040	1040	1050	1050	1050	905	905	1330	910
"	3396	1950	1230	1110	980	1160	970	1050	1050	1010	1010	1390	920
"	3397	1690	1235	1160	1160	1120	1060	1025	1025	965	965	1410	1125
21-22-5	3408	1920	1080	1080	1080	1090	1130	1025	1090	990	990	1150	1375
"	3409	1910	1170	1170	1120	1080	1080	1080	1080	935	935	1235	1305
"	3418	1770	1080	1120	860	1020	1045	1045	1075	915	915	1325	1410
22-23-5	3419	1735	1115	1115	1040	1140	1070	1070	1090	1010	1010	1370	1180
"	3422	1640	1140	1280	970	1030	1060	1060	1080	1165	1165	1080	1170
12-13-6	3501	1280	980	980	1060	1060	1095	1095	1080	1365	1365	1210	1210
18-19-7	3507	1340	980	980	1080	1080	1080	1080	1080	1200	1200	1100	1190
19-7	3526	1300	920	920	985	985	1165	1165	1165	1370	1370	1100	1100
16-8	3532	1300	1300	1300	1300	1300	1300	1300	1300	1300	1300	1300	1290
		1770	1160	1150	1130	1030	1060	1040	1020	1160	1310	1140	1060

Таблица 4

$\lambda$	$\lambda^{-1}$	$\Delta \lg J$	$\lambda$	$\lambda^{-1}$	$\Delta \lg J$
5430	1.842	-0.302	4300	2.326	-0.466
5315	1.881	-0.382	4260	2.347	-0.336
5225	1.914	-0.559	4215	2.372	-0.420
5150	1.942	-0.336	4200	2.381	-0.326
5090	1.965	-0.494	4160	2.404	-0.420
5010	1.990	+0.155	4102	2.438	+0.028
4960	2.016	-0.429	4070	2.457	-0.382
4860	2.068	+0.298	4030	2.481	-0.411
4830	2.070	-0.503	3970	2.519	-0.140
4790	2.088	-0.317	3935	2.541	-0.411
4740	2.110	-0.531	3885	2.574	-0.205
4640	2.155	+0.056	3855	2.594	-0.466
4565	2.190	-0.569	3835	2.608	-0.205
4530	2.208	-0.326	3810	2.625	-0.373
4500	2.222	-0.438	3790	2.638	-0.261
4440	2.252	-0.242	3760	2.660	-0.028
4380	2.283	-0.429	3735	2.677	-0.112
4340	2.304	+0.047	3715	2.692	+0.037

На рисунке 1 представлены данные таблицы 4. Наклон прямой линии, проведенной по способу наименьших квадратов, дает для относительного градиента величину — 0.38.

Абсолютный градиент звезды HD 167965 не определен. Известно, что она принадлежит к главной последовательности и имеет спектральный тип B8п. Согласно Этгену ее  $U-B=-0.50$  и  $B-V=-0.12$  зв. вел.

Все приемлемые значения градиента звезды сравнения HD 167965 дают для Новой очень высокую цветовую температуру, даже без учета космического поглощения света.

Так как непрерывный спектр Новой на большинстве спектрограмм был слаб, и проведение его к тому же осложнено слиянием многочисленных эмиссионных полос, то для определения эквивалентных ширин и центральных интенсивностей эмиссионных линий мы использовали непрерывный спектр звезды сравнения HD 167965. Как было указано, звезда сравнения фотографировалась через диафрагму, соответствующую этой экспозиции спектр Новой оказывался в основном недодержанным, но наиболее выдающиеся эмиссионные линии имели именно нормальные почернения. Используя эти спектры, мы определили эквивалентные ширины двух эмиссионных линий  $H_{\beta}$  и [OIII] 5007 по отношению к непрерывному спектру звезды сравнения. Для других эмиссионных линий определение эквивалентных ширин не представлялось возможным из-за бледирования их соседними линиями. Ниже приводим результаты измерений.

Негатив	$W_{\lambda}(H_{\beta}) \text{ \AA}$	$W_{\lambda}(N_1) \text{ \AA}$
3328	69.4	—
3364	51.6	—
3373	48.0	71.0
3381	46.6	73.5
3389	46.4	73.3
3396	21.4	46.6
3408	23.1	57.5
3409	25.7	46.8
3418	18.1	44.8
		40.2

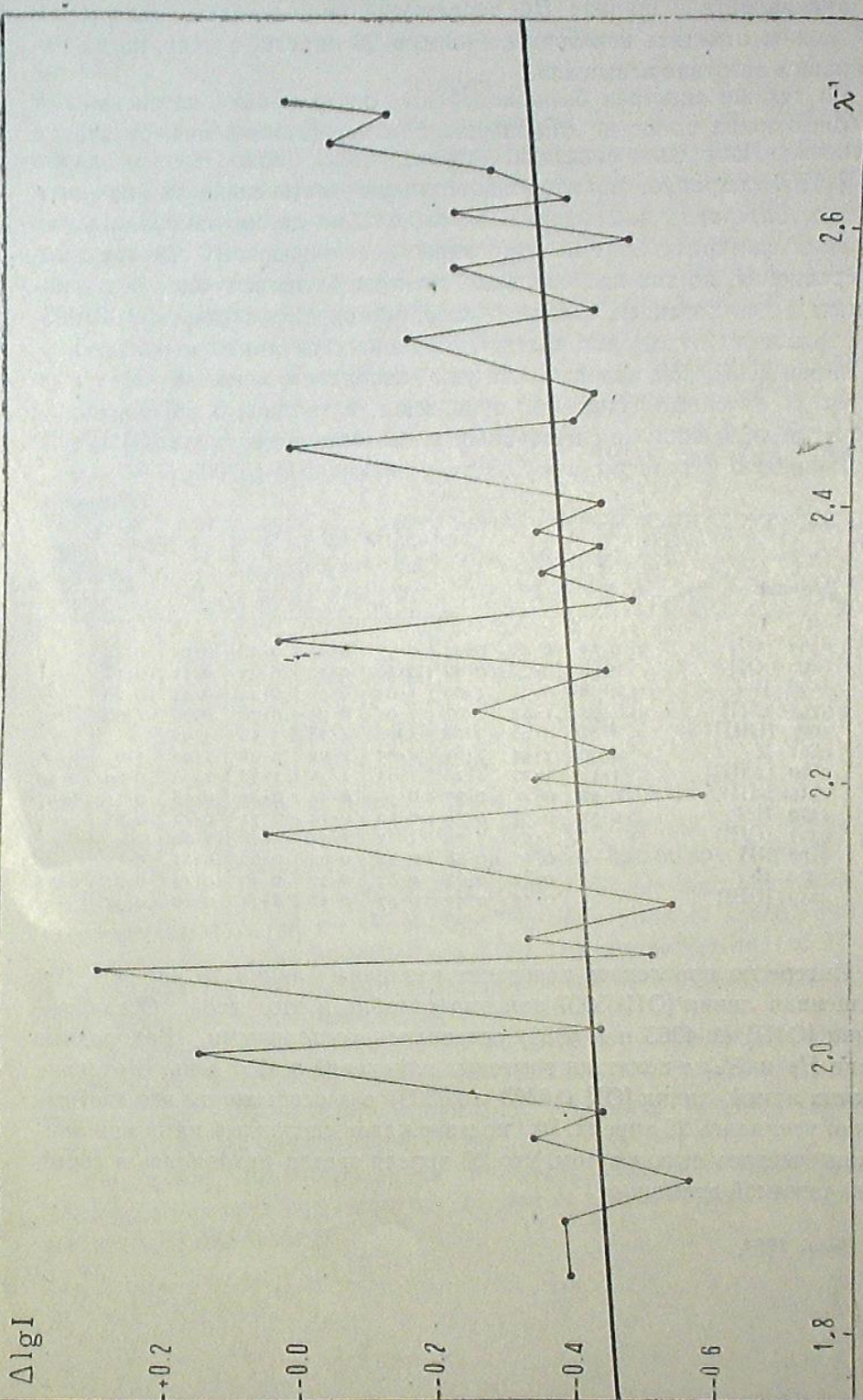


Рис. 1

Эквивалентная ширина  $H\beta$  непрерывно уменьшалась. Для [OIII] 5007 можно отметить некоторый минимум 26 апреля, в день, когда наблюдалась «азотная вспышка».

На тех же спектрах были измерены центральные интенсивности наиболее ярких полос по отношению к непрерывному спектру звезды сравнения. Измерения показали, что из всех линий только линия [OIII] 4959 сохраняет примерно постоянную интенсивность на протяжении интервала наблюдений. Более слабые линии измерялись на основных спектрах также по отношению к непрерывному спектру звезды сравнения, но так как основные спектры были получены без диафрагмы и с экспозицией, отличной от экспозиции для звезды HD 167965, мы образовали отношения интенсивности каждой линии к интенсивности линии [OIII] 4959, которая, как уже говорилось, менялась медленнее других. Полученные отношения приведены в таблице 5. В последней строке таблицы записаны центральные интенсивности линии [OIII] 4959 по отношению к непрерывному спектру звезды HD 167965.

Таблица 5

Элемент	Дата									
	18—19·4	19—20·4	20—21·4	21—22·4	25—26·4	17—18·5	21—22·5	22—23·5	12—13·6	18—19·7
6363 [OI]	0·37	0·43	0·42	0·53	0·21	0·28	0·22	0·19	—	—
6300 [OI]	0·40	0·35	0·42	0·53	0·16	0·23	0·17	0·18	—	—
5876 HeI	0·98	0·95	1·06	1·09	0·46	0·45	0·44	0·28	—	—
5755 [NII]	1·66	1·44	1·67	1·94	0·73	0·76	0·78	1·00	0·53	—
5007 [OIII]	4·65	4·08	3·28	2·66	4·18	3·52	3·92	—	—	—
4861 H	4·00	3·54	2·83	2·89	2·06	2·08	1·46	1·35	0·48	—
4640 [NIII]	1·18	1·22	1·26	1·83	1·35	1·28	1·26	0·60	0·30	—
4515 NII	0·22	0·24	0·27	0·50	0·14	0·22	0·18	0·11	0·05	—
4470 HeI	0·32	0·37	0·36	0·50	0·12	0·12	0·14	0·08	—	—
4363 [OIII]	—	1·35	1·03	1·13	1·32	—	1·60	—	—	—
4176 NII	—	0·17	0·18	0·40	0·08	0·08	0·11	0·03	—	—
3970 H	—	0·84	0·62	0·82	0·27	0·30	0·42	0·21	0·09	—
4959 [OIII]	0·43	0·45	0·49	0·47	0·38	0·34	0·40	0·35	—	—

Интересно проследить поведение различных линий 26 апреля. За прещенная линия [OIII] 5007 заметно ослабла в этот день. Остальные линии [OIII] ( $\lambda$  4363 и  $\lambda$  4959) оставались постоянными. Водородные линии  $H\beta$  и  $H\alpha$  не показали заметных изменений в этот день. В отличие от этих линий, линии [OI] ( $\lambda$  6363 и  $\lambda$  6300) и в особенности все азотные линии усилились 26 апреля. Это подтверждает сделанный нами при описании спектров вывод о том, что 26 апреля звезда находилась в состоянии «азотной вспышки».

Июнь, 1964.

## 1964 ЧЛЮС ЗЕРКАЛЬНЫХ СТЕКЛОВ

О. АЛАНЯ И А. ЗАГИБО

(Абастуман)

Абастуманин абстрактнотипицуро 70 см менесисуру ტელეսკოპ-ზე მიღებული სპექტრების საფუძვლზე გამოყენდეულია 1963 წლის პერსულის ახალი დაწყებული 25 მარტიდან მიღებულ იქნა 60-ზე მეტი სპექტროგრამა. შესაძარ ვარსკვლავად გამოყენებულია HD 167965, რომლის ფოტოგრაფირება წარმოებდა დიაფრაგმით. სტარიაში მოცემულია სპექტრების აღწერა და ზოლების ცხრილი. დაკვირვების პირველ ხანებში მიგიგებული ხაზებისა და ზოლების ცხრილი. დაკვირვების პირველ ხანებში მიღებულ სპექტრებზე შეიმჩნევა ონიზებული კალციუმის შთანთქმის K და H ხაზები, რომელთა წარმოშობა ვარსკვლავთშორისეთული ხსიათისაა.

26 აპრილს ახალი იმყოფებოდა ეგრეთშოდებული „აზოტური ანთების“ შდგომარეობაში. მე-3 ცხრილში მოცემულია ახალი ვარსკვლავის ვარსკვლავის გაფართოების სიჩქარე სხვადასხვა ელემენტების მიხედვით. წყალბადის გამოსხივების ხაზების მიხედვით გაფართოების საშუალო სიჩქარე აღმოჩნდა ტოლი 1190 კმ/სეკ.

ვარსკვლავულია  $H\beta$  ს და [OIII] 5007-ის ექვივალენტური სიგანები. სხვა გამოსხივების ხაზებისათვის გაზომილი იყო ცენტრალური ინტენსივობები. შედეგები მოცემულია მე-5 ცხრილში.

## NOVA HERCULIS 1963

I. F. ALANIA AND M. V. POPOV

(Summary)

The investigation of Nova Herculis 1963 is carried out on the base of spectra obtained by means of the 70 cm meniscus type telescope of the Abastumani Astrophysical Observatory. More than 60 spectrograms were obtained beginning March 25. HD 167965 was photographed as a comparison star through the diaphragm. The description of spectra and the table lines and bands identified are given. The interstellar-lines of  $H$  and  $K$  of ionized Ca are present on the first spectrograms. On the 26-th of April Nova was in the state of «nitrogen flare».

The velocities of broadening of the gaseous envelope determined according to the emission lines of various elements are given in table 3. The average velocity of broadening according to the hydrogen emission lines amounts to 1190 km/sec.

Equivalent line widths of  $H\beta$  and [OIII] 5007 are determined. Central intensities were measured for the rest of emission lines. The results are given in the table 5.